

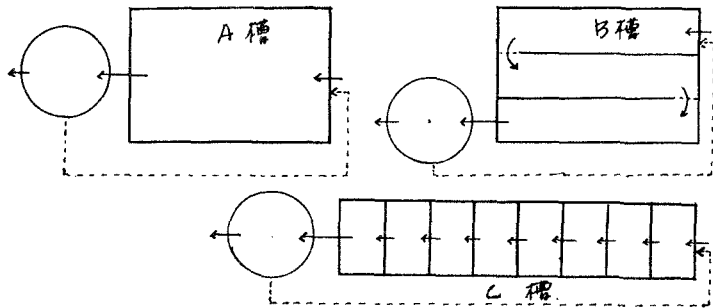
号-1 はじめに

活性汚泥のバルキングについては、これまで多くの研究が行われてきており、S/N, pH, 有機物負荷, 温度, 等の原因についていくらかの知見が得られてきている。

一方, J. Chudoba etc は, 曝気槽の混合特性とバルキングとの関係, また, 安田は基質流入条件とバルキングとの関係について検討を行っている。

本実験は, J. Chudoba etc の条件を多少変えて, 曝気槽の混合特性と汚泥の沈降性との関係について検討したものである。

図-1 実験用曝気槽の概略



号-2 実験方法

実験に用いた曝気槽は, 図-1 に示した三種類で, 水理学的滞留時間7分, 沈降槽滞留時間1分, 汚泥返送比25%で連続運転を行った。

沈降槽は, 円筒形のガラス容器を使い, その概略を図-2に示した。沈降槽の中にゴム製の円板を数口入し, その上, 汚泥が巻き上る程度に上下動させることにより, 沈降槽内での汚泥の下の層を防ぐ。

汚泥の引き抜きは1日1回, 所定量の曝気槽混合液を引き抜くことにより行う。

用いた基質は, ゲルマニウムとグルタミン酸とを有機成分とする人工下水であり, 4 = 酸濃度によって pH をコントロールした。

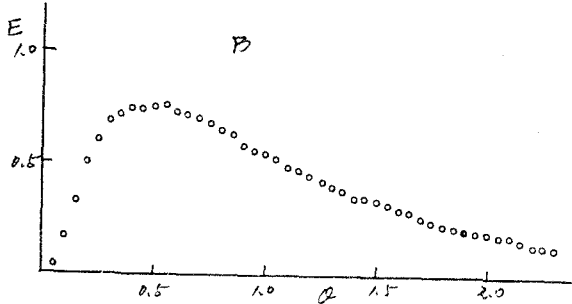
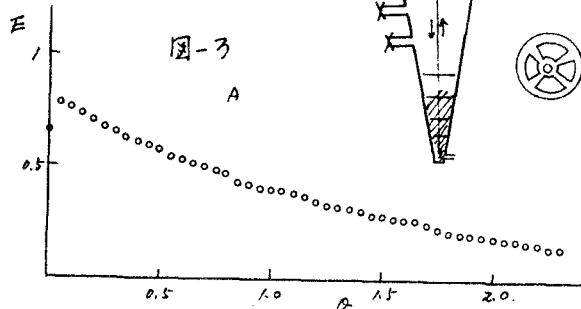
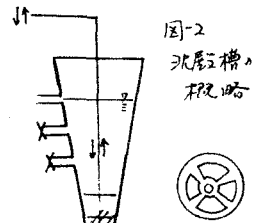
分析方法は下水試験法に準拠した。

号-3 結果の考察

(1) 曝気槽の混合特性

NaCl をトレーサとして, デルタ法によりその水の曝気槽の混合特性を調べた。結果を図-3に示した。このデルタ法を用いて, バリアンス σ^2 , 分散数 D/uL , 槽列モデルの場合の槽数 n を次式より算定した。

$$\begin{aligned} \sigma^2 &= \frac{\sum \sigma^2 E}{\sum E} - 1 \\ &= 2 \frac{D}{uL} - 2 \left(\frac{D}{uL} \right)^2 \left[1 - \exp\left(-\frac{D}{uL}\right) \right] \\ &= \frac{1}{n} \end{aligned}$$



$\bar{t} = \frac{Q}{F}$, \bar{t} : 平均滞留時間,
 E : 滞留時間分布関数

計算結果を表-1に示した。

(2) MLSSとSVIの経日変化

実験期間中のMLSSとSVIの測定値を図-4と図-5に示した。

実験開始後31日目までは混合槽引き抜き量は500ml, 32日目からは1ℓである。

引き抜き量が500mlの場合、混合槽内の

要する三つの曝気槽の培養における汚泥のSVIの値が多少異なる差を生ずるから下がる。引き抜き量を1ℓに増加すると、曝気槽の分散数の大きい順に、下層から完全混合タイプに近い曝気槽の培養における汚泥の沈降性の悪化が早期に現れ、そのに伴って汚泥の除去が主としてこのようになる。

(3) 考察

J. Chudoba etcは、分散数の

逆数であるPeclet数(u/d)

とSVIとの関係を示しており、

$u/d = 0$ ($D/uL = \infty$) となるので

全混合槽では平均SVIが500,

$u/d = 0.94$ ($D/uL = 1.06$) だとSVIが300

$u/d = 5.9$ ($D/uL = 0.17$) だとSVIが100

$u/d = 33$ ($D/uL = 0.033$) だとSVIが60

という結果を報告している。

本実験では、SVIが200以上で、
 の定常的な運転が不可能であり、
 ため、J. Chudoba etcが示した
 ような関係を確認することができ
 ない、ため。

しかし、分散数が0.085~0.624
 の間でも、混合槽性が汚泥の沈降
 性に一定程度の影響を及ぼす可
 能性は実験的に確認できた。本報
 をよみ加えて、汚泥引き抜き率や
 引き抜き量、等も検討を要する問題で
 あり、今後、装置の改良を加えて
 中心キープの制御についての検討
 を行って行きたい。

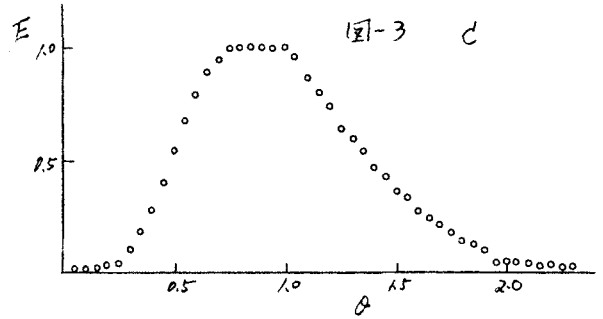


表-1

	A槽	B槽	C槽
D^2	0.626	0.359	0.156
D/uL	0.624	0.233	0.085
m	1.80	2.78	6.41

